

と開始時刻=終了時刻直線の交点から引かれる最早開始時刻直線の右側に写像される。

同じように、集合によって表される六角形の事象Aについての写像である事象Bは、図4のようになる。これらは、図3の事象Aに対する写像の集合を、事象Aの六角形の中でもなく走査させ、その和集合をとることで得られる。例えばstartsについて、六角形の領域内で事象点Aを走査させ、starts領域（図3参照）の軌跡の和集合をとると、事象Aのstarts写像が得られる。これを定式化すると、

$$SOPO_A = \{(x, y, z) | x^A - y^A + z^A = 0\}$$

$$x_0^A \leq x^A \leq x_1^A, y_0^A \leq y^A \leq y_1^A, z_0^A \leq z^A \leq z_1^A\}$$

$$SOPO_B = \{(x, y, z) | x^B - y^B + z^B = 0\}$$

$$x_0^B \leq x^B \leq x_1^B, y_0^B \leq y^B \leq y_1^B, z_0^B \leq z^B \leq z_1^B\}$$

$$\text{where } x_0^A = x_0^B, x_1^A = x_1^B, y_0^A = y_0^B \dots \dots \dots (5)$$

となる。この x_0^A などに関する制約を図 4 の表に与える。

ここまでで、事象の数値的な制約や、2事象間の相対的な制約が表現できるようになった。つぎに、これらの表現された制約をもとに他の事象間の関係を推論することを考える。

4.2. 関係の伝播

図5は、事象Aから事象Bへの関係と、事象Bから事象Cへの関係をもとにして、事象Aから事象Cへの関係を推論している。事象Aからstartsの関係にある事象Bへの写像を導入し、さらにその事象Bからbeforeの関係にある事象Cへの写像を導入すると、

$$SOPO_C = f_{BC}(SOPO_B) = f_{BC}(f_{AB}(SOPO_A)) \dots \dots \dots (6)$$

のように、事象Aに対する事象Cの可能な解の集合は、事象Aから事象Bへの写像と事象Bから事象Cへの写像の、合成写像をとることによって求めることができる。

5. おわりに

本研究では、提案した幾何学的表現は以下のことを満たすことを確認した。

- 1) スケジューリングに必要な以下の要求事項を満たす
モデル化方法を提案した。
 - Ⓐ 事象の数値的な制約を表現できること。
 - Ⓑ 事象の間の相対的な制約を表現できること。
 - Ⓒ 与えられた制約すべてを満たすような解すべてを推論し、表現できること。
- 2) 事象を集合として考えることで以下のようなメリットがある。
 - Ⓐ 考えられる解が、集合ですべて表現される。
 - Ⓑ 事象間の関係が、簡単な写像によって表現できる。
 - Ⓒ 制約の伝播が、合成写像によって表現できる。

参考文献

- [1] 大橋洋明："1996年度精密工学会春期学会学術講演会学術論文集，" pp451, 1996
- [2] Jean-Francois Rit："Proragation Temporal Constraints for Scheduling," Proc. AAAI, 1986
- [3] J. Allen："Maintaining Knowledge about Temporal Interval," Communications of the ACM, Vol.26, 1983

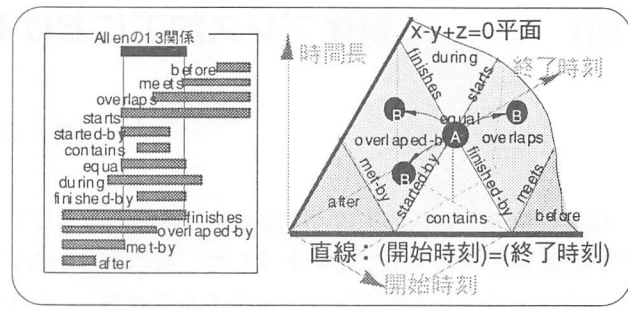


図3 事象間の関係 (点→集合)

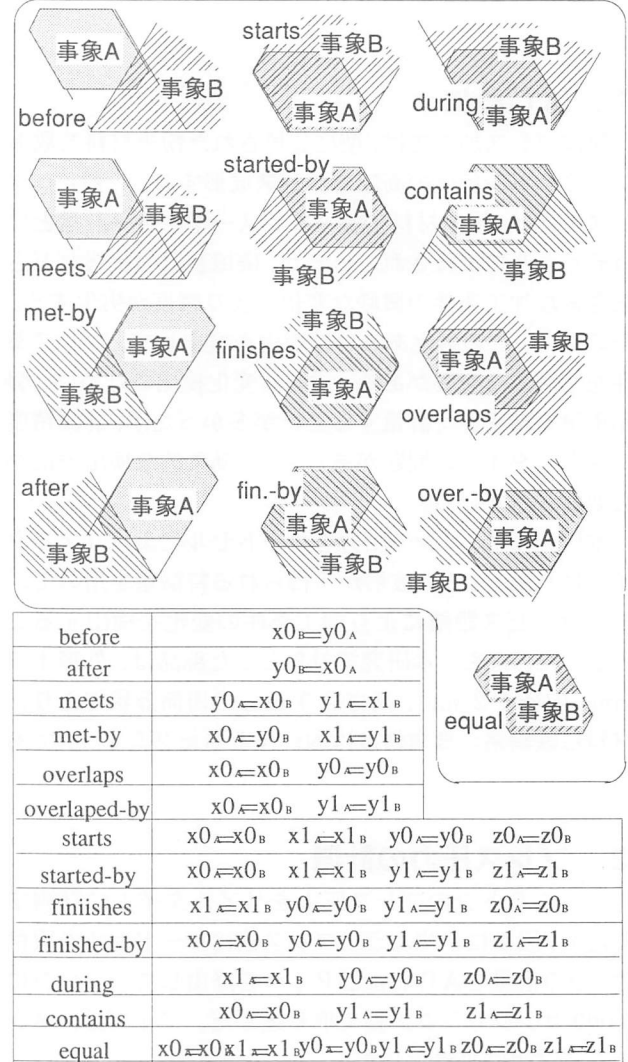


図4 事象間の関係 (集合→集合)

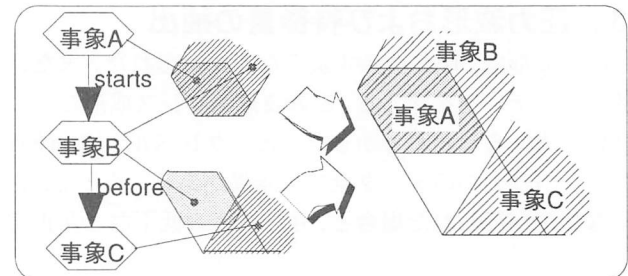


図5 制約の伝播